

東京工業大学大学院 学生員 清水義彦
東京工業大学工学部 正員 福岡捷二

1. はじめに

扇状地河道では網状流路がしばしば見られる。そこでは川が水面上に現われ、流れは分岐、蛇行、集中、離散を繰り返す強い不等流性を示す。その挙動は河道の局所的な平面形状や河床形状に支配され、側岸部付近に水流の集中を生じさせ、河岸浸食を引き起す原因となる。本研究はこのような流れの基本的な性質を理解する第一段階として、網状流路の平面構造を注目し、川の平面的な配置と流れの関係を検討する。

2. 解釈法

図-1に示すように規則正しく配列した川をもつ流れ場を考える。河床は平坦とし、川は常に水面上にあって移動しないものとする。このような前提のもとでは、流れは平面ニ次元ボテンシャル流れで表わしえ得る可能性がある。

そこで川の形状は、一様流と強さの等しい湧き出し・吸い込みの複素速度ボテンシャルを重ねたランキンの卵形で表現する。

このとき、3-面上の複素速度ボテンシャルは、

$$f(z) = 4z + K \log(z - z_1) - K \log(z - z_2) \quad (1)$$

となる。ここで K は一様流の流速、 K は湧き出し・吸い込み強度である。

次に一列の網状流路の側岸境界条件を満足させるため、等像 $\bar{z}_3 = e^{\pi i z/B}$ を用いて式(1)を2-面上に移すと、 $Y = znB$ (n : 整数) 上に卵形が並び、鏡像の原理から $Y = B$ が側岸の境界条件を満足する。簡単のため、図-2に示すように卵形2つの組合せを3-面上で考え、2-面上に等像して得られる複素速度ボテンシャルは、

$$\begin{aligned} f(z) &= K \log \sinh \frac{\pi}{2B} (z+A) - K \log \sinh \frac{\pi}{2B} (z-A) \\ &+ K \log \cosh \frac{\pi}{2B} (z+c+A) - K \log \cosh \frac{\pi}{2B} (z+c-A) \\ &+ K \log \cosh \frac{\pi}{2B} (z-c+A) - K \log \cosh \frac{\pi}{2B} (z-c-A) \\ &+ 4z \end{aligned} \quad (2)$$

となる。これより流函数 $\psi(x, y)$ を求めると次式を得る。

$$\psi(x, y) = K \tan^{-1} \frac{e^{\frac{\pi i x}{B}} \sin \frac{\pi}{B} y}{e^{\frac{\pi i x}{B}} \cos \frac{\pi}{B} y - e^{\frac{\pi i x}{B}} A} - K \tan^{-1} \frac{e^{\frac{\pi i x}{B}} \sin \frac{\pi}{B} y}{e^{\frac{\pi i x}{B}} \cos \frac{\pi}{B} y - e^{\frac{\pi i x}{B}} A}$$

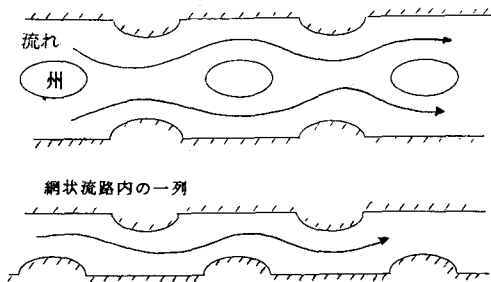


図-1 網状流路の平面形状

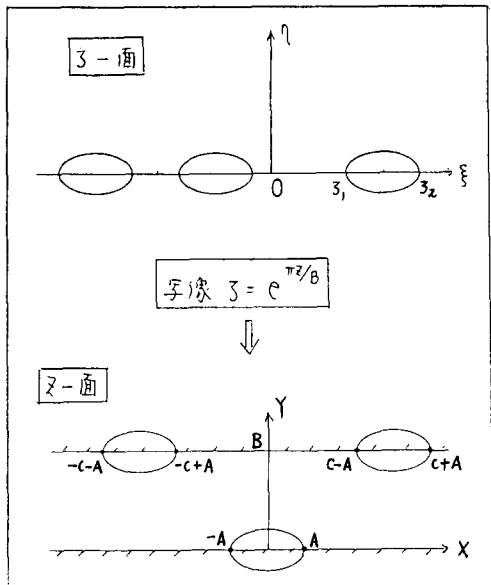
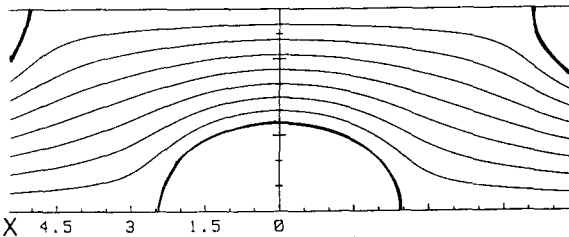


図-2 解釈方法

$$\begin{aligned}
 & + K \tan^{-1} \frac{e^{\frac{\pi}{B}x} \sin \frac{\pi}{B}y}{e^{\frac{\pi}{B}x} \cos \frac{\pi}{B}y + e^{-\pi(c+A)/B}} - K \tan^{-1} \frac{e^{\frac{\pi}{B}x} \sin \frac{\pi}{B}y}{e^{\frac{\pi}{B}x} \cos \frac{\pi}{B}y + e^{\pi(c-A)/B}} \\
 & + K \tan^{-1} \frac{e^{\frac{\pi}{B}x} \sin \frac{\pi}{B}y}{e^{\frac{\pi}{B}x} \cos \frac{\pi}{B}y + e^{\pi(c-A)/B}} - K \tan^{-1} \frac{e^{\frac{\pi}{B}x} \sin \frac{\pi}{B}y}{e^{\frac{\pi}{B}x} \cos \frac{\pi}{B}y + e^{\pi(c+A)/B}} \\
 & + U_y
 \end{aligned} \quad (3)$$



3. 解析結果

川の短軸 L_y 、長軸 L_x を与えると、湧き出し・吸い込み強さ K と一緒に流速比の比が決定される。

$L_y = 0.4B$, $L_x = 1.3B$ 程度の形状をもつて流肉数を計算した結果を図-3に示す。

川の形状の効果により上流側の水流の流向が河岸に強く曲げられ、川幅の狭さまに比例して流下方に向かって加速される。実際の網状流路でも河床が平坦床の場合には、このような縮流のあくび加速度場の流れはボテンシヤル的と考えられる。そこで、このようないずれの流れ場における対岸への水流の局所的な集中を考察する。図-4は、横断方向流速分布の分布を示す。主流に直角な流速成分 v は、川の中央部に至らなければいちど急速に弱まり、河岸から離れた位置でも流れは河岸にほぼ平行となる。

各流線上での成分が最大となる地点と、単位面積あたりの横断方向運動量 p_{uv} が最大となる地点を示したもののが図-5である。これらを結んだ方向に、水流の集中があるとは言え難く、実際には予想される位置で対岸への水流の集中はみられない。

したがって川の平面構造に起因する流れの集中は弱く、かなり大きな曲率をもつ川の形状をもつなければ、側岸への流れの集中すなわち水衝点の発生はみられない。しかし川が河道内の自然な状態の中で維持できる形状は、ある程度ゆるやかな曲率をもつと考えられるところから、平面構造の効果だけでは、網状流路内の河岸への水流の集中は説明しづらいようである。

以上の二点から、流れの河岸への集中を引き起こす不可欠な要因は、河床の縦横断形状にあると思われる。このことは著者らの一人が、直線流路における文丘砂州に起因する水衝点の発生で明らかにしている。

網状流路の場合は、河床の縦横断形状と川の配列が相互に影響しあって、強い水衝点の発生を促すものと思われるるので、今後は両者を考慮した流れの解析を行なう必要がある。

参考文献

- 1) 福岡・山坂：直線流路における河岸水衝点位置の予測、オジア同人講、1984

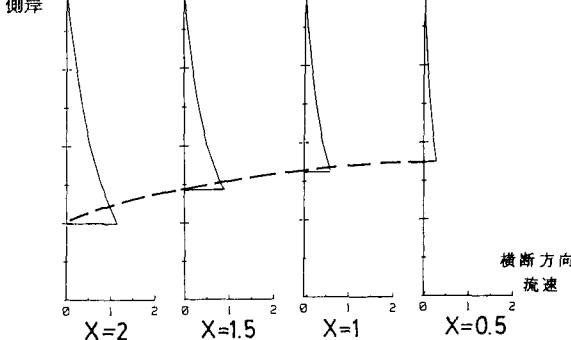


図-4 横断方向流速分布

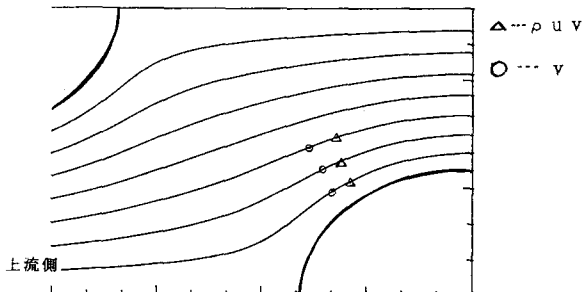


図-5 流線上の横断流速 v 及び横断方向運動量 p_{uv} の最大地点

参考文献

1) 福岡・山坂：直線流路における河岸水衝点位置の予測、オジア同人講、1984